



Weierstraß-Institut für  
Angewandte Analysis und Stochastik



**Wird ein Gigant erscheinen oder nicht?**

**Mikro-Makro-Phasenübergänge in der Wahrscheinlichkeitstheorie**

Wolfgang König (WIAS Berlin und TU Berlin)

- Wir betrachten Systeme, die aus **vielen mikroskopisch kleinen** zufälligen Objekten bestehen (z.B. Partikel, Kanten zwischen je zwei Punkten, Schlingen, ...)
- Diese Objekte haben lokale mikroskopische Beziehungen mit einander (Verbundenheit, Zusammenhangskomponenten, Wegstücke, ...).
- Die Anzahl  $N$  ist sehr groß, und Effekte zeigen sich nur im Grenzwert  $N \rightarrow \infty$ .
- Es gibt einen gewissen **Wachstumsparameter**, meist die Wahrscheinlichkeit, mit der die Objekte oder die Beziehungen existieren.
- Die vielen kleinen Dinge können plötzlich auch **makroskopische** Eigenschaften herausbilden, wenn der Parameter eine gewissen **Schwellenwert** überschreitet.
- Die Fragen sind, was diese makroskopischen Eigenschaften sind und ob dieser Schwellenwert **endlich** ist und ob er **positiv** ist. Es schließen sich viele Fragen an.
- Der Wahrscheinlichkeitstheoretiker (aber der Physiker oft nicht) spricht dann oft von einem Phasenübergang, hier konkreter von einem **Mikro-Makro-Phasenübergang**. Einige davon sind berühmt und der Ausgangspunkt für eine riesige Menge an Forschungsarbeit.

## (I) ZUFÄLLIGER GRAPH MIT $N$ KNOTEN

- Zufälliger Graph auf  $N$  Knoten
- Frage nach Größe der größten Komponente: wie wächst sie mit  $N$ ?
- Im Jahre 1960 total überraschend, aber heute gut bekannt.
- Anwendungen in Informatik und Kombinatorik, aber mathematisches Hauptinteresse wegen des hübschen Phasenübergangs.

### Der Erdős–Rényi-Graph $G(N, p)$

- Eckenmenge  $[N] = \{1, 2, \dots, N\}$
- Jede Kante  $\{i, j\}$  mit  $i, j \in [N], i \neq j$ , existiert mit Wahrscheinlichkeit  $p \in (0, 1)$ .
- Die Existenz der Kanten ist unabhängig.

**Frage:** Wie groß ist die größte Komponente von  $G(N, p)$ ?

### Der Erdős–Rényi-Graph $G(N, p)$

- Eckenmenge  $[N] = \{1, 2, \dots, N\}$
- Jede Kante  $\{i, j\}$  mit  $i, j \in [N], i \neq j$ , existiert mit Wahrscheinlichkeit  $p \in (0, 1)$ .
- Die Existenz der Kanten ist unabhängig.

**Frage:** Wie groß ist die größte Komponente von  $G(N, p)$ ?

Ein berühmter Phasenübergang:

#### [Erdős/Rényi 1960]

Wenn man  $p = p_N = t/N$  wählt, dann gilt für große  $N$  mit Wahrscheinlichkeit  $\rightarrow 1$ :

- Falls  $t < 1$ , so ist die größte Komponente  $\approx \log N$  groß,
- Falls  $t > 1$ , so ist sie  $\sim K(t)N$  groß (mit einem bekannten  $K(c) \in (0, \infty)$ ).

$\implies$  Mikro-Makro-Phasenübergang bei  $t = 1$ : “Emergence of a giant cluster”.

- Die zweitgrößte Komponente ist  $\approx \log N$  groß.
- Man kann sagen, dass alle Komponenten ab der zweiten **mikroskopisch** groß sind (also von Ordnung Eins). Nur der (einzige) Gigant ist **makroskopisch** groß (also von Ordnung  $N$ ).
- Es gibt viele Beweise des Phasenübergangs; meist benutzt man eine Approximation mit einem **Verzweigungsprozess**.
- Einbettung in einen zeitabhängigen Prozess  $(G(N, t/N))_{t \in [0, \infty)}$ , den **ER-Graphenprozess**, möglich: Zum Zeitpunkt Eins erscheint der Gigant (im Limes  $N \rightarrow \infty$ ). Diesen Zeitpunkt kann man **Explosionszeitpunkt** nennen. Anschließend wachsen alle Komponenten weiter, auch der Gigant.
- Man kann das Modell räumlich einbetten und erhält einen **geometrischen Graphen** bzw. einen **inhomogenen ER-Graphen**; da gibt es viele Varianten.
- Wenn man, statt eine Kante zu ziehen, die beiden Partikel mit einander **koagulieren** lässt (also aus zwei Partikeln eines mit summierter Masse bildet, das zwischen den beiden Partikeln platziert wird), dann erhält man einen **Partikelprozess mit Koagulation**. Bei geeigneter Wahl der Koagulationswahrscheinlichkeiten ist der ER-Prozess ein Teil davon.

- Hineinzoomen in  $t \approx 1$ : Phasenübergänge auf anderen Skalen!
- Beschreibung der Größen **aller** Komponenten (meist mit Hilfe von Verzweigungsprozessen als Approximation oder mit Kombinatorik)
- Kombinatorische Untersuchungen weiterer Größen, z.B. die Anzahl der Kanten im Giganten, Durchmesser des Giganten, Wahrscheinlichkeit für das Entstehen zweier Giganten, ...
- Untersuchungen des räumlichen bzw. des zeitlichen Prozesses.
- Erweiterungen des Modells, z.B. Kanten mit unterschiedlichen Farben und Wahrscheinlichkeiten, dann Cluster mit gegebenen Farbkombinationen zählen.

## (II) PERKOLATION

- Zufälliger Graph im unendlichen  $d$ -dimensionalen Raum
- Frage nach Unendlichkeit der größten Komponente
- Völlig neu eingeführt in den 1960ern; heute ein Standardmodell der  $W$ -Theorie
- Anwendungen in Materialwissenschaft oder Telekommunikation, aber Hauptinteresse wegen mathematischer Schönheit ( $\implies$  stochastische Geometrie).



### Perkolation auf $\mathbb{Z}^d$

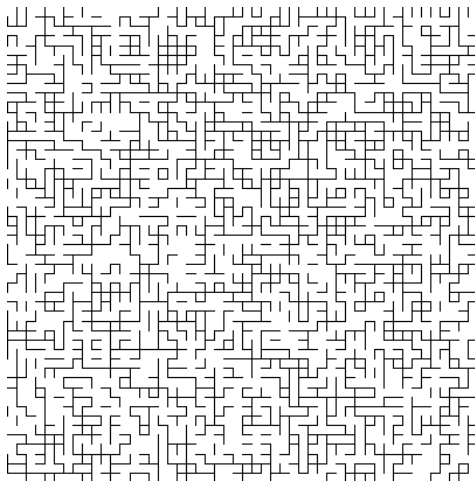
- Jede Kante zwischen nächsten Nachbarn im  $\mathbb{Z}^d$  ist mit Wahrscheinlichkeit  $p \in (0, 1)$  offen und sonst geschlossen.
- Die Offenheit der Kanten ist unabhängig.

**Poröser Stein:** Wasser fließt durch den  $\mathbb{Z}^d$  nur entlang offener Kanten. Im Ursprung ist eine Wasserquelle. Der Stein ist  $[-N, N]^d \cap \mathbb{Z}^d$ . Wird die Oberfläche des Steins nass? (d.h. an mindestens einem Punkt?).

### Perkolation auf $\mathbb{R}^d$

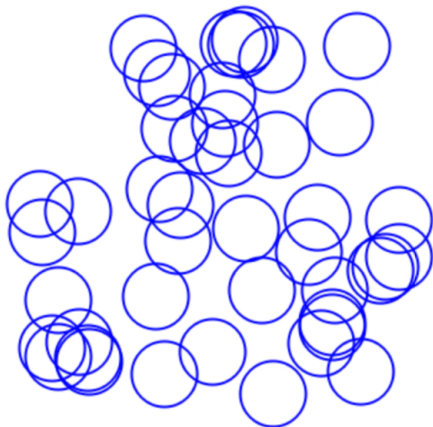
- Sei  $(X_i)_{i \in I}$  eine zufällige, homogene Punktwolke im  $\mathbb{R}^d$ , ein **Poisson'scher Punktprozess**.
- Je zwei Punkte  $X_i$  und  $X_j$  mit  $|X_i - X_j| \leq 2R$  werden durch eine Kante verbunden.
- Die Vereinigung der  $R$ -Kugeln um die  $X_i$  heißt das **Boole'sche Modell**.

**Telekommunikation:** Multihop-System,  $X_i =$  Basisstationen, Nachrichten springen Distanzen  $\leq R$ . Kann man Nachrichten unendlich weit verbreiten?



$50 \times 50$ -Gitter mit  $p = 0,51$

[https://commons.wikimedia.org  
/w/index.php?curid=655409](https://commons.wikimedia.org/w/index.php?curid=655409)



Kugeln um Poisson'sche Punkte mit Radius  $R$ , das **Boole'sche Modell**.  
Mittelpunkte können verbunden werden, wenn die Kugeln sich schneiden.

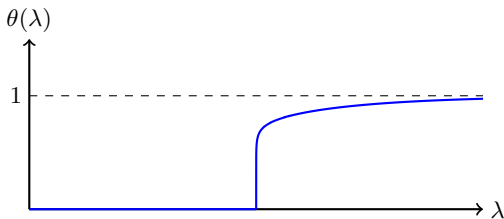
Ein Perkolationsmodell (egal, ob diskret oder kontinuierlich) ist ein räumlich eingebetteter zufälliger Graph im  $\mathbb{R}^d$  und hat daher auch eine größte Komponente  $\mathcal{C}$ .

### Diskrete Perkolation: Beide Phasen existieren

In Dimension  $d \geq 2$  existiert ein **kritischer Schwellenwert**  $p_c \in (0, 1)$ , so dass fast sicher  $\#\mathcal{C} < \infty$  ist, falls  $p < p_c$  und fast sicher  $\#\mathcal{C} = \infty$  ist, falls  $p > p_c$ .

- Der Wert von  $p_c$  ist nur in  $d = 2$  bekannt mit  $p_c = 1/2$ .
- $p_c$  ist genau der Wert, ab dem die **Perkolationswahrscheinlichkeit**  $\theta(p) = \mathbb{P}(\text{Die Komponente des Ursprungs ist unendlich groß})$  positiv ist.
- Die beiden Beweise für  $p_c > 0$  und  $p_c < 1$  beruhen auf einer diskreten Abzählung aller Konturen, die die Komponente des Ursprungs umfassen (in  $d = 2$ ). Dies geht mit Hilfe des Arguments von **Rudolf Peierls**.

- Poisson'scher Punktprozess  $\mathbb{X} = (X_i)_{i \in I}$  mit Intensität  $\lambda \in (0, \infty)$ .
- Konnektivitätsradius  $R \in (0, \infty)$ . **Boole'sches Modell:**  $Z_R = \bigcup_{i \in I} B_R(X_i)$ .
- $\mathcal{C}(x)$  = Komponente  $Z_R$ , die  $x$  enthält.
- **Perkulations-Wahrscheinlichkeit**  $\theta(\lambda, R) = \mathbb{P}(|\mathcal{C}(0)| = \infty)$ .
- **Kritische Dichte**  $\lambda_c(R) = \inf\{\lambda: \theta(\lambda, R) > 0\}$ .
- Folgerung aus PEIERLS'S Argument:  $\lambda_c(R) \in (0, \infty)$ .
- Numerischer Wert von  $\lambda_c(R)$  und Stetigkeit von  $\theta(\cdot, R)$  in  $\lambda_c(R)$  **generell unbekannt!**



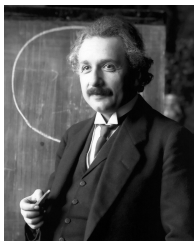
**Abbildung:** Approximatives Diagramm der Perkulations-Wahrscheinlichkeit

- **“Sharp transition”**: Zeige, dass gewisse andere Phänomene genau bei  $p = p_c$  auftauchen, z.B. Existenz eines Weges vom linken bis zum rechten Rand der Box  $[-N, N]^d \cap \mathbb{Z}^d$ , oder dass die Ws., einen Weg vom Rand der  $r$ -Kugel bis zum Rand der  $2r$ -Kugel nicht verschwindet für  $r \rightarrow \infty$ .
- **“chemischer Abstand”**: Wie lang ist der Weg innerhalb der gigantischen Komponente zwischen zwei weit entfernten Punkten?
- **Telekom-Anwendungen**: Lasse eine Familie von Nachrichtentrajektorien auf der größten Komponenten laufen und betrachte deren Interferenz und deren kürzeste Wege.

### (III) Bose–Einstein-Kondensation

- Voraussage 1924 über einen neuen Aggregatzustand sehr geheimnisvoll
- Experimentelle Realisierung erst 1995 ( $\implies$  Nobelpreis 2001)
- Viele mathematische Forschungstätigkeit, besonders seit 2000, mit vielen Ergebnissen, aber Hauptproblem noch offen.

- Im Jahre 1924 bat der junge, damals weitgehend unbekannte Physiker SATYENDRA NATH BOSE den berühmten ALBERT EINSTEIN um Hilfe bei der Übersetzung und Veröffentlichung seiner neuesten Arbeit über Lichtquanten in der *Zeitschrift für Physik*.
- Einstein übersetzte das Manuskript ins Deutsche und sorgte für Publikation für Bose.
- Er betonte, dass diese neue Methode geeignet sei, die Quantenmechanik des idealen (= interaktionsfreien) Gases zu erklären. Er erweiterte die Idee auf Gasatome und sagte 1925 die Existenz eines neuen, bisher völlig unbekanntem Zustands voraus, das nun unter dem Namen **Bose–Einstein-Kondensat** bekannt ist.



ALBERT EINSTEIN (1879-1955) in 1921



SATYENDRA NATH BOSE (1894-1974) im Jahre 1925



Jedes Partikel hat **drei Attribute**:

- eine **kinetische Energie** (in Form des Laplace-Operators  $\Delta$ ),
- eine (weiche oder harte) **Falle** (z.B. in einer Box  $\Lambda$  im  $\mathbb{R}^d$ ),
- **Interaktionen** mit jedem anderen Partikel.

Jedes Partikel hat **drei Attribute**:

- eine **kinetische Energie** (in Form des Laplace-Operators  $\Delta$ ),
- eine (weiche oder harte) **Falle** (z.B. in einer Box  $\Lambda$  im  $\mathbb{R}^d$ ),
- **Interaktionen** mit jedem anderen Partikel.

Man beschreibt das System mit Hilfe eines **Hamilton-Operators** für  $N$  Partikel an den Orten  $x_1, \dots, x_N$  in einer Box  $\Lambda \subset \mathbb{R}^d$  mit paarweiser Interaktion via ein **Paarpotential**  $v: \mathbb{R}^d \rightarrow [0, \infty]$ :

$$\mathcal{H}_N^{(\Lambda)} = - \sum_{i=1}^N \Delta_i + \sum_{1 \leq i < j \leq N} v(|x_i - x_j|), \quad x_1, \dots, x_N \in \Lambda.$$

Jedes Partikel hat **drei Attribute**:

- eine **kinetische Energie** (in Form des Laplace-Operators  $\Delta$ ),
- eine (weiche oder harte) **Falle** (z.B. in einer Box  $\Lambda$  im  $\mathbb{R}^d$ ),
- **Interaktionen** mit jedem anderen Partikel.

Man beschreibt das System mit Hilfe eines **Hamilton-Operators** für  $N$  Partikel an den Orten  $x_1, \dots, x_N$  in einer Box  $\Lambda \subset \mathbb{R}^d$  mit paarweiser Interaktion via ein **Paarpotential**  $v: \mathbb{R}^d \rightarrow [0, \infty]$ :

$$\mathcal{H}_N^{(\Lambda)} = - \sum_{i=1}^N \Delta_i + \sum_{1 \leq i < j \leq N} v(|x_i - x_j|), \quad x_1, \dots, x_N \in \Lambda.$$

- $\mathcal{H}_N^{(\Lambda)}$  wird angewendet auf **Wellenfunktionen**  $\phi: \Lambda^N \rightarrow \mathbb{R}$ .
- $|\phi(x_1, \dots, x_N)|^2$  = Dichte der Wahrscheinlichkeit für  $N$  Partikel an den Orten  $x_1, \dots, x_N$ .
- $|\phi(x_1, \dots, x_N)|^2$  is **symmetrisch** (= permutationsinvariant).

**Bosonen-System** (Quantenmechanik!):

- Auch  $\phi(x_1, \dots, x_N)$  ist symmetrisch.

■ Hauptuntersuchungsobjekt:  
symmetrisierte Spur  $Z_N(\beta, \Lambda) = \text{Tr}_+(\exp\{-\beta\mathcal{H}_N^{(\Lambda)}\})$ .

■ Physik  $\iff$  Mathematik:

Temperatur  $\iff 1/\beta$

kinetische Energie  $\iff e^{\beta\Delta} \iff$  Brown'sche Bewegung auf  $[0, \beta]$

Interaktion  $\iff e^{-v(x_i - x_j)}$

Mittlung über zufällige Teilchen  $\iff$  Spur

Symmetrisierung  $\iff$  zufällige Permutation

■ Hauptuntersuchungsobjekt:  
 symmetrisierte Spur  $Z_N(\beta, \Lambda) = \text{Tr}_+ (\exp\{-\beta \mathcal{H}_N^{(\Lambda)}\})$ .

■ Physik  $\iff$  Mathematik:

Temperatur  $\iff 1/\beta$

kinetische Energie  $\iff e^{\beta \Delta} \iff$  Brown'sche Bewegung auf  $[0, \beta]$

Interaktion  $\iff e^{-v(x_i - x_j)}$

Mittlung über zufällige Teilchen  $\iff$  Spur

Symmetrisierung  $\iff$  zufällige Permutation

■ Feynman-Kac-Formel:

$$Z_N(\beta, \Lambda) = \underbrace{\int_{\Lambda} dx_1 \cdots \int_{\Lambda} dx_N}_{N \text{ Punkte in } \Lambda} \underbrace{\frac{1}{N!} \sum_{\sigma \in \mathfrak{S}_N}}_{\text{zufällige Permutation}} \underbrace{\bigotimes_{i=1}^N \mu_{x_i, x_{\sigma(i)}^{(\beta)}}}_{N \text{ Brown'sche Brücken}} \left[ \underbrace{e^{-\sum_{1 \leq i < j \leq N} V_{\beta}(B^{(i)}, B^{(j)})}}_{\text{Interaktion}} \right].$$

■ Hauptuntersuchungsobjekt:  
 symmetrisierte Spur  $Z_N(\beta, \Lambda) = \text{Tr}_+ (\exp\{-\beta \mathcal{H}_N^{(\Lambda)}\})$ .

■ Physik  $\iff$  Mathematik:

Temperatur  $\iff 1/\beta$

kinetische Energie  $\iff e^{\beta \Delta} \iff$  Brown'sche Bewegung auf  $[0, \beta]$

Interaktion  $\iff e^{-v(x_i - x_j)}$

Mittelung über zufällige Teilchen  $\iff$  Spur

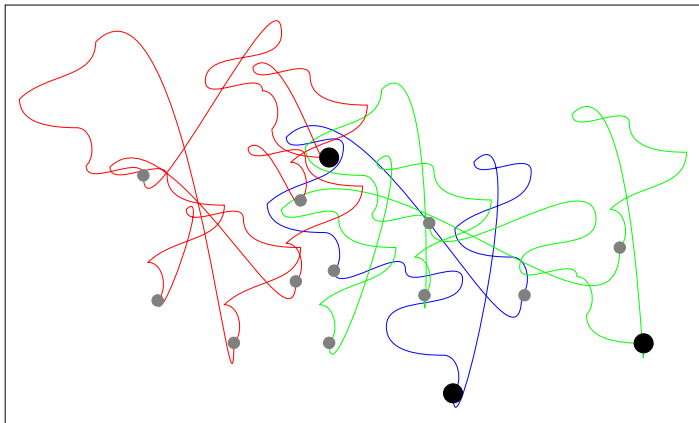
Symmetrisierung  $\iff$  zufällige Permutation

■ Feynman–Kac-Formel:

$$Z_N(\beta, \Lambda) = \underbrace{\int_{\Lambda} dx_1 \cdots \int_{\Lambda} dx_N}_{N \text{ Punkte in } \Lambda} \underbrace{\frac{1}{N!} \sum_{\sigma \in \mathfrak{S}_N}}_{\text{zufällige Permutation}} \underbrace{\bigotimes_{i=1}^N \mu_{x_i, x_{\sigma(i)}^{(\beta)}}}_{N \text{ Brown'sche Brücken}} \left[ \overbrace{e^{-\sum_{1 \leq i < j \leq N} V_{\beta}(B^{(i)}, B^{(j)})}}^{\text{Interaktion}} \right].$$

■ Freie Energie im thermodynamischen Grenzwert (d.h.  $|\Lambda_N| = N/\rho$ ):

$$f(\beta, \rho) = - \lim_{N \rightarrow \infty} \frac{1}{|\Lambda_N|} \log Z_N(\beta, \Lambda_N).$$

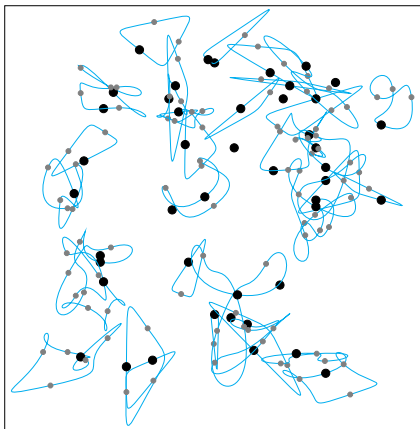


Ein Bosegas aus 14 Partikeln, aufgeteilt in drei Brown'sche Zykeln,  
angeheftet an drei Poisson'sche Punkte (dick).  
Der rote Zykel enthält sechs Partikel, der grüne und der blaue je vier.

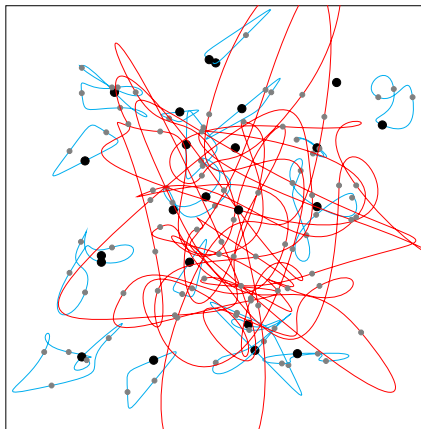
- Wir betrachten hier das **kanonische Ensemble**, wo die Zahl der Partikel  $N$  fest ist. Wenn  $N$  zufällig und Poisson-verteilt ist, spricht man vom **großkanonischen Ensemble**.
- Das interagierende Bosegas ist also ein **Ensemble von interagierenden Brown'schen Schlingen** verschiedener Länge in einer großen Box. Eine Schlinge der Länge  $k$  (d. h. mit Zeitintervall  $[0, \beta k]$ ) hat genau  $k$  Partikel. Insgesamt gibt es  $N = \sum_{k \in \mathbb{N}} k N_k$  Partikel (wenn  $N_k$  die Anzahl der Schlingen der Länge  $k$  ist).
- Eine natürliche Formulierung ist als ein **zufälliger Punktprozess** mit Marken (= Schlingen) und Interaktionen zwischen den Schlingen.

**BEK-Frage:** Liegt ein makroskopischer Teil der  $N$  Partikel in "langen" Schlingen?





Subkritisches Bosegas  
(kleine Partikeldichte)  
ohne Kondensat



Superkritisches Bosegas  
(große Partikeldichte)  
mit zusätzlichem Kondensat (rot)

- Kein Raum, keine Box  $\Lambda$ .
- Keine Positionen  $x_1, \dots, x_N$  der Partikel.
- Keine Brown'sche Bewegungen.
- **Aber:** Statistik der Zykellängen.

- Kein Raum, keine Box  $\Lambda$ .
- Keine Positionen  $x_1, \dots, x_N$  der Partikel.
- Keine Brown'sche Bewegungen.
- **Aber:** Statistik der Zykellängen.

Referenz-Dichte der Zykellängen:  $q_k = \frac{1}{k} (4\pi\beta k)^{-d/2}$ .

Effektive Zykellängendichte:  $m_k$ . Partikeldichte:  $\sum_{k \in \mathbb{N}} k m_k$ .

Entropie:  $H(m|q) = \sum_k (q_k - m_k + m_k \log \frac{m_k}{q_k})$ .

$$\text{freie Energie: } f(\beta, \rho) = \inf \left\{ H(m|q) : m \in [0, \infty)^{\mathbb{N}}, \sum_{k \in \mathbb{N}} k m_k = \rho \right\},$$

- Kein Raum, keine Box  $\Lambda$ .
- Keine Positionen  $x_1, \dots, x_N$  der Partikel.
- Keine Brown'sche Bewegungen.
- **Aber:** Statistik der Zykellängen.

Referenz-Dichte der Zykellängen:  $q_k = \frac{1}{k} (4\pi\beta k)^{-d/2}$ .

Effektive Zykellängendichte:  $m_k$ . Partikeldichte:  $\sum_{k \in \mathbb{N}} k m_k$ .

Entropie:  $H(m|q) = \sum_k (q_k - m_k + m_k \log \frac{m_k}{q_k})$ .

$$\text{freie Energie: } f(\beta, \rho) = \inf \left\{ H(m|q) : m \in [0, \infty)^{\mathbb{N}}, \sum_{k \in \mathbb{N}} k m_k = \rho \right\},$$

**BEK-Frage:** Gibt es ein minimierendes  $(m_k)_{k \in \mathbb{N}}$ ?

- Kein Raum, keine Box  $\Lambda$ .
- Keine Positionen  $x_1, \dots, x_N$  der Partikel.
- Keine Brown'sche Bewegungen.
- **Aber:** Statistik der Zykellängen.

Referenz-Dichte der Zykellängen:  $q_k = \frac{1}{k} (4\pi\beta k)^{-d/2}$ .

Effektive Zykellängendichte:  $m_k$ . Partikeldichte:  $\sum_{k \in \mathbb{N}} k m_k$ .

Entropie:  $H(m|q) = \sum_k (q_k - m_k + m_k \log \frac{m_k}{q_k})$ .

$$\text{freie Energie: } f(\beta, \rho) = \inf \left\{ H(m|q) : m \in [0, \infty)^{\mathbb{N}}, \sum_{k \in \mathbb{N}} k m_k = \rho \right\},$$

**BEK-Frage:** Gibt es ein minimierendes  $(m_k)_{k \in \mathbb{N}}$ ?

**Euler-Lagrange-Gleichung:**  $m_k = q_k e^{\alpha k}$  für  $k \in \mathbb{N}$  mit dem Lagrange-Multiplikator  $\alpha \in \mathbb{R}$ .

**Kritische** (= größte erreichbare) Partikeldichte:

$$\rho_c(\beta) = \sum_{k \in \mathbb{N}} k q_k = (4\pi\beta)^{-d/2} \sum_{k \in \mathbb{N}} k^{-d/2} \begin{cases} = \infty & \text{if } d \leq 2, \\ < \infty & \text{if } d \geq 3. \end{cases}$$

$\implies$  Phasenübergang in  $d \geq 3$ , aber nicht in  $d \leq 2$ .

- Konstruktion interagierender **zufälliger Punktprozesse** im  $\mathbb{R}^d$  mit zufälligen Schlingen (⇒ statistische Mechanik, Gibbs-Maß-Theorie)
- Freie Energie in **verschiedenen Regimes** (Größe von  $\Lambda$ , Reskalierung von  $v$ , z.B. Mean-field oder hydrodynamischer Grenzwert)
- Ensembles **zufälliger Zykellängen** mit anderen Gewichten als  $q_k$  (⇒ zufällige geometrische Permutationen oder Partitionen)
- **Verwandte Modelle**: Heisenberg-Modell, XY-Modell, ...
- Zusammenhang zwischen Bosegas und Ensembles von **unendlich langen** Brown'schen Bewegungen (⇒ Brownian interlacements)
- **Reflektions-Positivität** (⇒ interagierende Spinsysteme)